

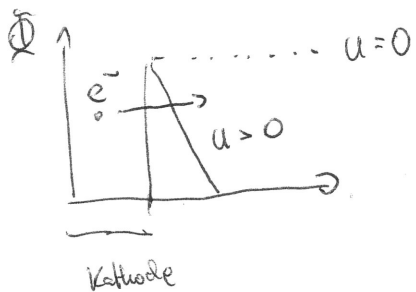
1.2 Prinzipieller Aufbau eines Elektronenmikroskops

1. Elektronenquellen: Erzeugung und Beschleunigung d. Elektronen

- Thermische Kathoden z.B. V-förmige Spitzen Wolfram (2500°C)
LaB₆ (1500°C)

- Feldemissionskathoden z.B. W-Spitzen mit $R = 100\text{ nm}$

$$E \sim \frac{U}{R} = 10^9 \frac{\text{V}}{\text{m}}$$



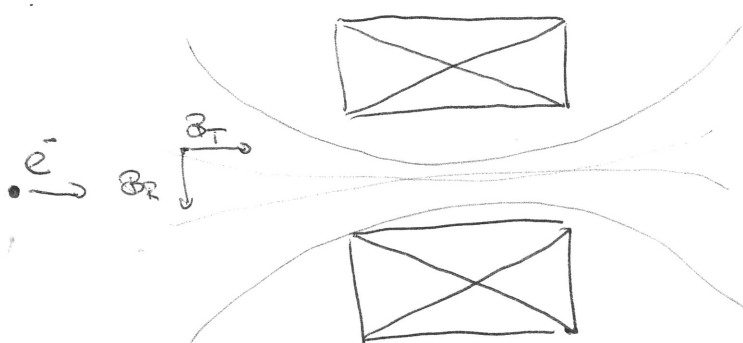
(Tunnelemissionsstrom)

- Vorteile: $\sim 10^6$ fach höhere Stromdichte
- kleinerer Emissionsfleck
- \Rightarrow hohe Brillianz β

Nachteil: Ultrahochvakuum (UHV) $\sim 10^{-8} \text{ Pa}$ notwendig

2. Elektronenlinsen (meist magnetische Linsen)

$$\vec{F} = -e(\vec{v} \times \vec{B})$$



$$\theta = \sqrt{\frac{e}{8\pi m u^*}} \cdot B \cdot L \quad U^* = U \left(1 + \frac{eU}{2E_0}\right)$$

\hookrightarrow Rotationsseiten $\sim B$

Projektion in Meridianebene:

$$\frac{1}{f} = \frac{e}{8\pi m u^*} B^2 L$$

Brechkraft $\sim B^2 > 0$

\rightarrow nur Sammellinsen

$B \propto I$

\rightarrow Brennweite kontinuierlich veränderbar

Man unterscheidet:

- Kondensorlinsen (Abbildung d. Quelle auf Probe, Belastungsbedingungen)
- Objektivlinsen $f = 1-3 \text{ mm}$ $V = 10-100x$
- Zwischenlinsen, Projektivlinsen

Linsenfehler

• Sphärische Aberration (Öffnungsfehler)

$$r_s = \frac{1}{4} C_s \alpha^3$$

α ist der halbe Öffnungswinkel der Linse

$\Rightarrow \alpha$ sollte klein sein

aber: Rayleigh-Kriterium: $d_0 = \frac{0.61\lambda}{n \cdot \sin(\alpha)}$

$\Rightarrow \alpha$ sollte groß sein

\hookrightarrow optimaler Öffnungswinkel $\alpha_{opt} = 1.14 \left(\frac{\lambda}{C_s} \right)^{1/4}$

$$d_0 = 0.43 (C_s \lambda^3)^{1/4}$$

Bsp.: $U_0 = 100 \text{ kV}$ $f = 1 \text{ mm}$ $C_s = 3.5 \text{ mm}$

$$\alpha_{opt} \approx 0.6^\circ \quad d_0 \approx 0.9 \text{ nm}$$

kleine Apertur \Rightarrow große Tiefenschärfe

• chromatische Aberration (Farbfehler)

hervorgerufen durch: Fluktuationen der Besch.spannung δU ,

Instabilität des Strahles durch Linsenspulen δI

Energieverlust durch Streuung

\rightarrow Schwankung der Brechzahl und der Elektronengeschw.

$$r_c = C_c \cdot \alpha \cdot \frac{\Delta E}{E} = C_c \cdot \alpha \left(2 \left(\frac{\delta I}{I} \right)^2 + \left(\frac{\delta U}{U} \right)^2 \right)^{1/2}$$

Bsp: $C_c = 3.6 \text{ nm}$, $r_c = 0.45 \text{ nm}$, $\alpha = 0.6^\circ$

$$\Rightarrow \Delta E = 5.2 \text{ eV}$$

\Rightarrow benötigte hohe Stabilität d. Linsensystems und d. Beschleunigungsspannung

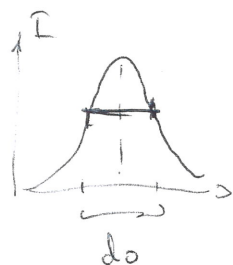
- Astigmatismus (Fokus in x- und y-Ebene unterschiedlich)
 - Ursache: Herstellungsfehler
 - Ablösung: Signatoren (2 schwache Zylinderlinsen senkrecht zueinander, x + y signator)

Weitere Fehler

- endliche Ausdehnung der Elektronenquelle begrenzt Auflösung $d_0 = \left(\frac{4 F_p}{\pi^2 \beta} \right)^{1/2} - 1 = C_o \cdot a^{-1}$

Summe aller Fehler:

$$d^2 = \left(\frac{C_o}{a} \right)^2 + \left(\frac{1}{2} C_s a^3 \right)^2 + \left(\frac{0.6 \lambda}{a} \right)^2 + \left(C_c \frac{\Delta E}{E} \cdot a \right)^2$$



3. Detektoren

Abhängig von den zu detektierenden Signalen

1. Was wird detektiert?
2. Wie entsteht ein Bild?

1.3 WW des Elektronenstrahls mit der Probe

Der einfallende Elektronenstrahl kann

1. elatisch/inelatisch gestreut werden

$\Theta > \frac{\pi}{2}$ Rückstreuerelektronen

$\Theta < \frac{\pi}{2}$ Transmittierte Elektronen



2. ein Leitungs-/Valenzelektron heraus-schlagen \rightarrow Sekundärelektronen ($< 50\text{ eV}$)

3. kernele Elektronen herausschlagen

- Leerstelle wird aufgefüllt \rightarrow char. Röntgenstrahlung
- kerneles El. nicht anderes Elektronen heraus
oder Photonen \rightarrow Auger-Elektronen

4. Weitere Sekundärprozesse

1.4 Rasterelektronenmikroskopie (SEM/REM)

Mögliche Prozesse im SEM:

1. el. Rückstreuung $E = E_0$

2. inel. Rückstr. $E \approx E_0 \approx 50\text{ eV}$

3. Emission char. Röntgenstr.

4. $+ II -$ von Auger-Elektronen $E \approx 0.1 \dots 1\text{ keV}$

5. $- II -$ von Sekundärelektronen $E < 50\text{ eV}$

Interpretation der SEM-Aufnahme

- Kenntnis des Rückstreu-Koeffizienten $\eta = \eta(\Theta, \varphi, E)$

- n der Sekundärelektronen ausbeute

$$\delta = \delta(\Theta, \varphi, E)$$

$$\Rightarrow \text{Kenntnis von } \frac{d^2\eta}{dE d\Omega}$$

a) Abbildung mittels Sekundärelektronen

Energieverlust entlang Elektronenprojektionie modelliert durch
 'Continuous-Slowing Down-Approximation'
 (Bethe's Verlustformel, Bremsvermögen).

$$\text{mittlerer Energieverlust } E_m = N \cdot Z \cdot \int_{W_{min}}^{W_{max}} \frac{d\sigma}{d\omega} W d\omega$$

$$S = \left| \frac{dE}{ds} \right| \sim E^{-1} \ln\left(\frac{E}{Z}\right)$$

Energieverlust
pro Weglänge

Z : mittleres Aufladungspotential d. Probes

bzw für nicht-relativistische Energien $E \leq E_0 = mc^2$

$$S = \left| \frac{dE}{ds} \right| = 7.8 \cdot 10^{10} \frac{Z}{A} \frac{1}{E} \ln\left(1.166 \frac{E}{Z}\right) \quad \left. \begin{array}{l} \text{semi-experimentelle} \\ \text{Formel} \end{array} \right\}$$

$$Z = 9.76 Z + 58.8 Z^{-0.19}$$

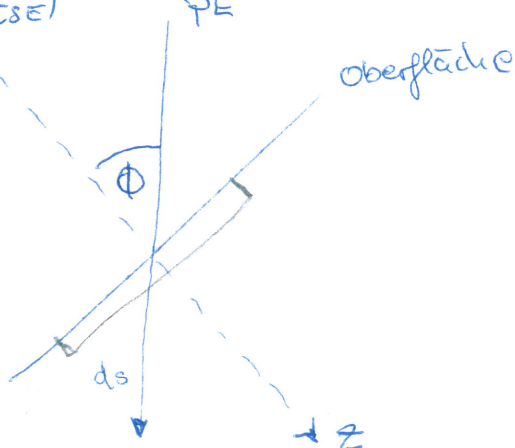
zur Berechnung der SE-Ausbeute:

Annahme: 1. S ist konstant auf Länge $t_{SE} \ll R$

2. $p(z) = P(0) \cdot \exp\left(-\frac{z}{t_{SE}}\right)$ ~~SE-Tiefe~~ Tiefen der WL-Binie
 Wahrscheinlichkeit, ~~SE-Signal-~~
~~tiefe~~
 dass SE austritt

$$\Rightarrow S \sim E^{-1} \ln\left(\frac{E}{Z}\right) \frac{1}{\cos\phi} \int_0^\infty \exp\left(-\frac{z}{t_{SE}}\right) dz$$

$$\sim E^{-0.8} \cdot t_{SE} \cdot \frac{1}{\cos\phi}$$



b) Abbildung mittels Rücksatrelektronen (BSE)

$\eta(\phi) \rightarrow$ topographischer Kontrast

$\eta(z) \rightarrow$ Materialkontrast, Zusammensetzung

empirischer Zusammenhang

$$\eta(z, \phi) = (1 + \cos\phi)^{-\frac{g}{12}}$$

Materialkontrast ist höher bei großer z-Differenz

$$\Rightarrow \text{Atomzahlkontrast } C = \frac{\eta_1 - \eta_2}{\eta_1}$$

$\eta(z, \phi)$ ist stark anisotrop \Rightarrow Kristallorientierungskontrast
(channeling)

Voraussetzung: \rightarrow Strahldivergenz < 0.1 mrad

- Spitzeneaperkier $\approx 1-10$ mrad

- „herausragende“ (glatte) Oberfläche

Ursache: WW der PE mit Kristallelektronen (Blochwellen)

prakt. Änderung $\frac{\Delta \eta}{\eta} \approx 1-10\%$ für $E_0 = 1-20$ keV

\Rightarrow zur Abbildung d. Kristallorientierung

\Rightarrow — + — von Kristalldefekten

1.5 Transmissionselektronenmikroskop (TEM)

- zwei Betriebsmodi:
- Abbildungsmodus
 - Beugungsmodus

Voraussetzung: dünne, für e^- transparente Proben
 \downarrow
 $< 100 \text{ nm}$ für Experimente mit geringer Auflösung
 $< 10 \text{ nm}$ für HRTEM

\Rightarrow hoher Präparationsaufwand

Interpretation der Daten schwierig, insbesondere bei HRTEM.

Wichtig: Kenntnis der Kontrasttransferfunktion

$$T(u) = A(u) \cdot E(u) \cdot \text{exp}(i\chi(u))$$

Aperatur

Kohärenzverlust

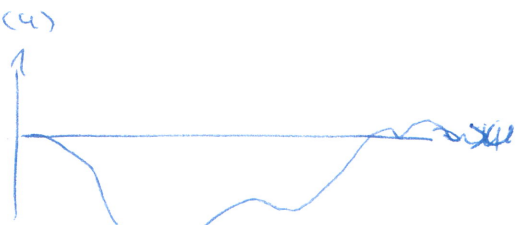
Phasenbeitrag

$[u] = \frac{\pi}{\lambda} \text{ nm}^{-1}$

(\approx chrom. Abberation)

$$\chi(u) = \frac{\pi}{\lambda} (\Delta f u^2 + \frac{C_s}{2} \cdot u^4)$$

u ist Variable im Fourierraum $u = k$



\Rightarrow 1. Nullstelle von $T(u) \Rightarrow$ Auflösung des TEM
 Phasenfaktor? Vorwedgesel \rightarrow Kontrastmühler

U

1.6. Weitere analytische Verfahren

► EELS: Electron energy loss spectroscopy

Energiebereich der Gitteranregungen (Phononen) $\sim 10 - 100 \text{ meV}$

der kollektiven Anregungen des El. Systems (Plasmonen) $\sim 1 - 50 \text{ eV}$

der Anregungen der inneren Elektronen $> 100 \text{ eV}$

Energieauflösung: $< 10 \text{ meV}$

↳ HREELS, Vermeidung von Hemaforschstrahlung

↳ SPEELS (spin polarized eels), Untersuchung der mag. Strukturen

► XPS: x-ray photo electron spectroscopy

► AES: Auger electron spect.

XPS, AES: Untersuchung der elektronischen Eigenschaften (Bandstruktur, Bindungsenergie)

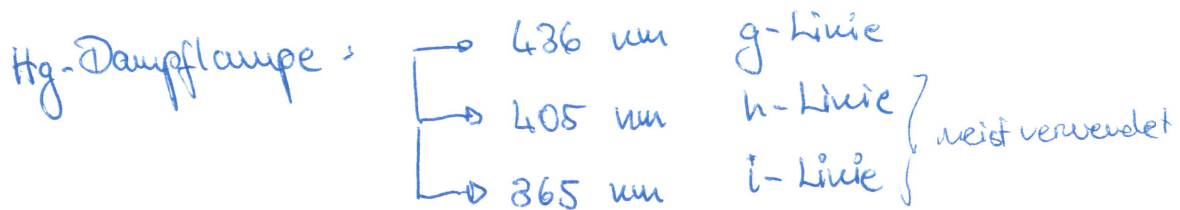
Man unterscheidet:

UV 365 - 436 nm

deep UV (DUV) 187 - 250 nm

extreme UV (EUV) 11 - 14 nm

Röntgen ≤ 10 nm



3.1 Grundprinzipien

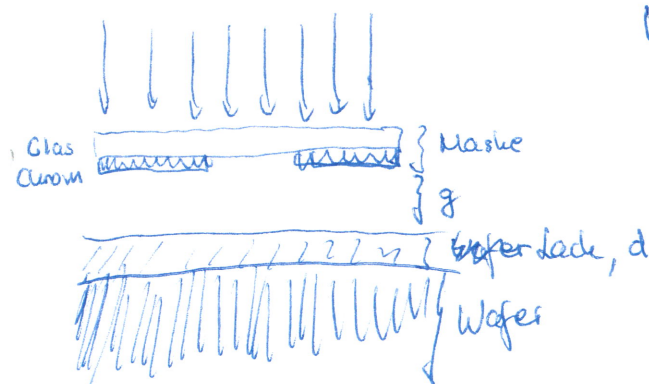
3.1.1 „mask alignment“ = 1:1 Abbildungsverfahren

Kontaktlithografie

→ Proximity - Lithografie

Abstand Maske-Substrat

vacuum contact \rightarrow hard contact \rightarrow soft contact



$$\text{Unschärfe des Abbildes } \omega = k \cdot \sqrt{t(g+d)}$$

Wellenlänge Abstand Lochdi.

Ausrichten der Maske über
zwei Ausrichtungsmarrierungen
(Kreuze)

3.1.2 Projektionslithografie:

- 1:1 Abbildung
- Reduktionsprojektion (5:1)

Qualität des Abbildes hängt ab

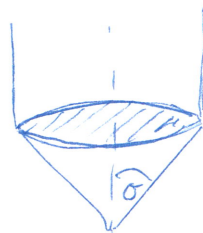
- von der Auflösung R der Abbildungsoptik

$$R = k_1 \cdot \frac{\lambda}{NA}$$

Technologie-Konstante

$\approx 0.5 \dots 0.9$

numerische Apertur: Auflösungsverm. eines Objektivs



$$NA = n \cdot \sin \theta$$

- von der Tiefenschärfe DOF

$$DOF = k_2 \cdot \frac{\lambda}{(NA)^2}$$

R soll mögl. klein
DOF soll mögl. groß sein!

Bsp.: $\lambda = 436\text{nm} \rightarrow$ am Strahlengtr. $d = 0.65\text{ }\mu\text{m}$ (für $NA = 0.4$)
 $DOF = \pm 0.7\text{ }\mu\text{m}$

$$\lambda = 365\text{nm}$$

(für $NA = 0.65$)

$$DOF = \pm 0.8\text{ }\mu\text{m}$$

Verfahren zur Verbesserung der Auflösung

3.1.3

Phasenabstiebtechniken (PSM)

Ziel: zusätzliches Licht im Abb.strahlengang mit 180°

Phasendifferenz zum Abb. strahl

→ durch Superposition wird Auflösung erzielt

→ Kontrastentzerrung, Verbesserung d. Auflösung + Tiefenschärfe

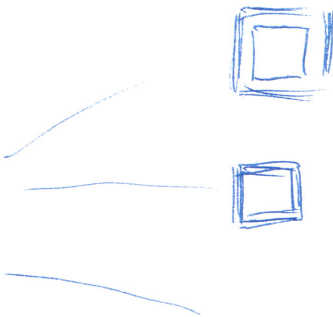
$$\phi = (n-1) \frac{2\pi d}{\lambda} = \pi \Rightarrow d = \frac{\lambda}{2(n-1)} \quad \text{Dicke des Phasenschieber}$$

Attenuated PSM: teildurchlässige Schicht (statt Cr-Schicht MoSiO)

Bsp: Intel MOSFET mit 30 nm Gate-Länge
(268 nm phase shift tool)

weitere PS-Techiken:

- auxiliary PSM
- rim PSM
- doseless PSM



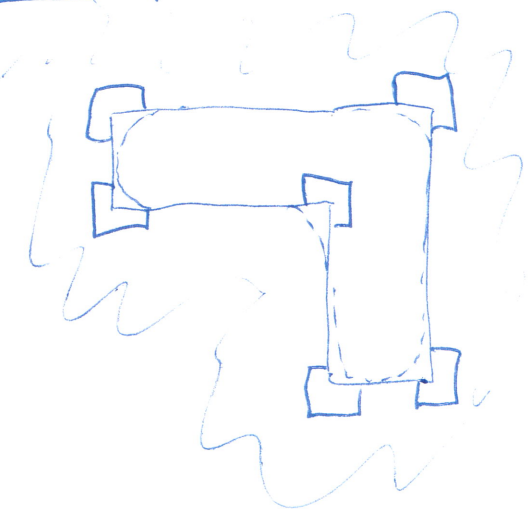
3.1.4 Off-axis-Belichtung (Folie 13)

Kontrasterhöhung (auch opt. Mikroskopie)

Verbesserung des Auflösungsvermögens

Vergrößerung der Fokustiefe

3.1.5 Optische Proximity-Korrektur (OPC)



unschärferes Abbildungsverhalten
führt zu Abminderungen
↳ optischer proximity effect

OPC: Bewusste Änderung der Maske
um Intensitätsunterschiede
auszugleichen, hinzufügen / weglassen
von Teilen der Maske

Zwei Methoden:

- rule-based OPC

⊕ schnell ⊖ ungenau

- model-based OPC,

Berechnung der Intensitätsverteilung

⊕ genau

⊖ aufwändig, evtl. mehrere Iterationen

3.1.6 Zusammenfassung: Grenzen d. opt. Lithografie

- Verkürzung der Wellenlänge: g-Linie \rightarrow i-Linie \rightarrow DUV \rightarrow vacuum UV (EUV)
- Erhöhung der Auflösung:
 - off-axis Beleuchtung
 - phaseshift masks
 - opt. proximity - Korrektur
- verbesserte Resist
 - Verringerung k_1 -Faktor < 0.3

\Rightarrow Kombination der Methoden

3.2 Graustufen - Fotolithografie

zur Herstellung gehämmelter Photoresist (PR) - Profile
z.B. für mikroopt. Komponenten

Verwendung von Fotolacken mit geringem Kontrast z.B.
DNP-PR und mit geringer Akzeptanzschärfe

Idee: Rasterung der Fotomasche \rightarrow Graustufen

(Variation der Pixeldichte)
(Pixelgröße)

- pulse density modulation
- pulse width modulation

Pixelgröße $R <$ Auflösungsvermögen der opt. Abbildung

$$R = \frac{\lambda}{(1 + \alpha) NA} \quad \alpha: \text{Kohärenzfaktor}$$

$\delta = 0$: komplett kohärente Beleuchtung

$\delta = 1$: " incohärente "

Verbesserung: durch computerunterstützte Verfahren, z.B. 256

Graustufenhöhe

Modelle: GRATED, LITHUND

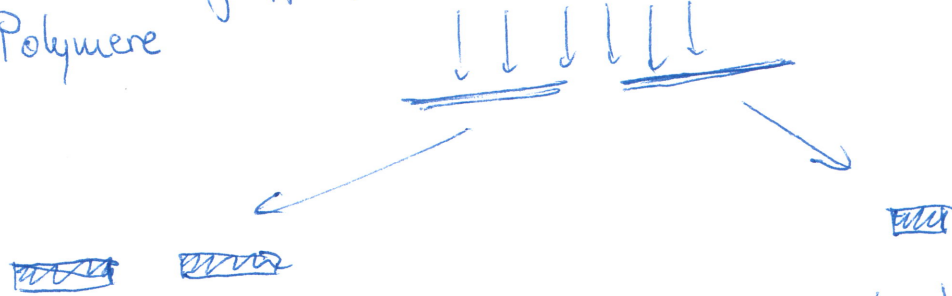
- Verwendung von HEBS-Glas als Maske

3.3 Direkt dreibende Verfahren

siehe Folien

4. Fotolacke

Sammelbegriff für alle lichtempfindlichen makromolekularen Polymere



Positivlack

lange Kettenmoleküle werden aufgebrochen

lange Moleküle im Entwickler unlöslich
kurze + in Lösung löslich

Negativlack

kurze Moleküle H₂O werden zu langen Ketten vernekt

- 4 Zutaten:
1. Harz / Polymer
 2. Lösungsmittel
 3. photoaktive Komponente (PTC)
 4. additive

4.1 Charakteristische Eigenschaften und Beispiele

1. Empfindlichkeit:

- bestimmt die Belichtungsdosis
- Parameter D_0 „dose to clear“ (mf/cm^2)

2. Kontrast:

- direkter Einfluss auf die Auflösung
- hängt von Belichtungseigenschaften d. Laches ab.

Angabe eines Kontrastparameters:

$$\gamma \pm = - \frac{t_d - t_u}{\log_{10} D_d - \log_{10} D_u} = \pm \frac{1}{\log_{10} \left(\frac{D_d}{D_u} \right)}$$

t_d : Dicke des belichteten Resist

t_u : — — unbelichteter

$$\begin{cases} t_d = 0 \quad t_u = 1 & \text{für } PR^+ \\ t_d = 1 \quad t_u = 0 & \text{für } PR^- \end{cases}$$

3. Auflösung:

- bestimmt durch
- Molekulargewicht
- Kontrast und Resistidie
- Entwicklungsbedingungen

4. Löse-Selektivität: = $\frac{\text{Äkrate d. Substrats}}{\text{Äkrate des Lacks}}$

5. Belichtungsspielraum \rightarrow Foliell

6. Prozessierungsspielraum

großer Δ \rightarrow Unempfindlichkeit gegen Abweichung von optimalen Parametern (T, t, c)

7. therm. Stabilität (Glastemperatur)

8. Aufquellen des Lacks

\rightarrow Deformation der Struktur durch Einlagerung von Entwicklermolekülen

9. Viskosität

• bestimmt u.a. die Lackdichte

10. Haltbarkeit

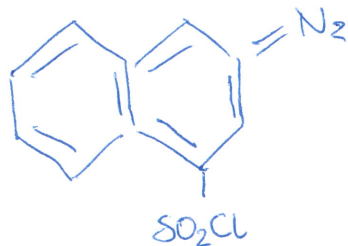
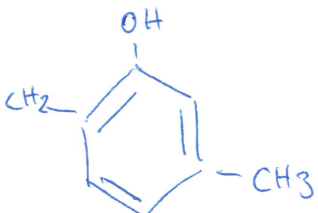
6.1.1 Fotolacke für opt. Lithografie

16-Januar 2016

of Positiv - Resist!

► Novolack / diazonaphthoquinonester (DNQ)

"Hart-Pheuselites Polymere"



90% Marktanteil

Wasserlöslich

Für g- und i-linien Lithographie

Wirkungsweise: DNQ { unbelichtet: Löslichkeitshemmer
belichtet: Löslichkeitserhöher

=> belidete Regionen werden $\approx 100\times$ schneller aufgelöst

typ. Entwickler: NaOH (Natriumhydroxid)

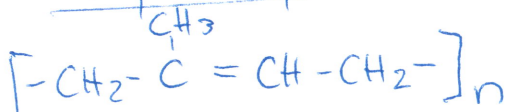


b) Negativ - Resist:

Kodak Thin Film Resist

— Auflösungsgrenze $\sim 2 \mu\text{m}$ (Verwendung bis 1872)

Polymer: Synth. Gummis

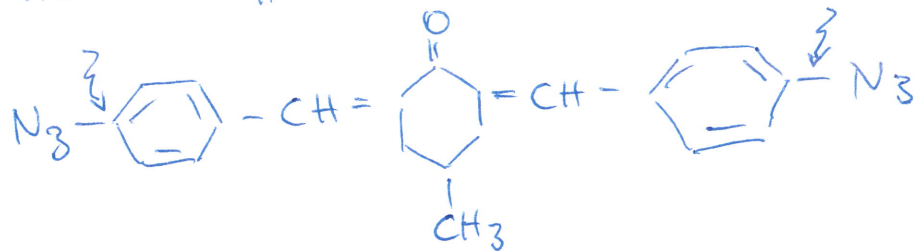


Molekulargewicht \approx 150 000

wöslich im modernen organ.
Lösungsmitteln

PAC: bis-arylacide

Azide: Stoffe mit ein oder mehreren N_3 -Gruppen



Wirkungsweise: Dissoziation unter Belichtung
in Nitrene + N_2

reagiert mit Aminen

→ Vernebung, unlöslich im Entwickler

Lösungsmittel: Toluol, Xylol, halogenierte Kohlenwasserstoffe

Nachteil: Aufquellen

c) CAR (chemically amplified resist)

Einsatz für λ nm (DUV)

Wirkungsweise: Zugabe von sog. "photo acid generators" (PAG)

PAG bildet unter Belichtung Säure (H^+ -Ionen) welche mit Harz reagieren. Pro PAG 500-1000 Reaktionen. (beim 2. Ausbacken)

Gibt es als Positiv- und Negativlack.

Bsp.: tBOC $\xrightarrow{\text{(i)}}$ Säuregenerator z.B. Oniumsalze
 $\xrightarrow{\text{(ii)}}$ protected polystyrene PB HOST

4.1.2 Hochauflösende Fotolacke für Elektronenstrahl-lithografie

1. PMET poly-methyl-methacrylat (Polymer)

üblicherweise 5-10% PMET (Polymer) in Chlorobenzenu~~m~~
oder ~~toluol~~ (Lösungsmittel) → Viskoſität
z.B. 2500 μ min spin coating

9% Lsg → 2 μ m Dicke

4% Lsg → 0.5 μ m

Eigenschaften: hohe Heflösung

hoher Kontrast

geringe Empfindlichkeit, abh. von Molekulargewicht u. Konzentration d. Extraktilers

geringe Abselektivität, PMET auf SiO₂ 1:1

2. ZEP-520 (Zeon / Japan)

Eigenschaften: hohe Heflösung
hoher Kontrast

Empfindlichkeit \approx 5-10x Empf. PMET

Abselektivität \approx 5x Abselektivität PMET

3. ma-N 2600 (Microresist Technologie) (D)

Konv. Negativlack

höhere Toleranz

Empfindlichkeit: PMMA < ma-N < ZEP520

Kontrast: \approx wie PMET

Abselektivität: \approx ZEP520

4. HSQ (hydrogen silsesquioxane)

Dow Coming: FOX-12

auorg. Resist auf SiO₂-Basis

Negativlack

Kontrast, Sensitivität wie PMMA

hohe Auflösung $\approx 6 \text{ nm}$

5. Chem. verst. Fotolacke (CTR)

Pos./Neg. Lack

Vorteile: hohe Empfindlichkeit

hoher Kontrast

Nachteile: Abhängigkeit von Prozessparametern

(insbesondere post-exposure bake)

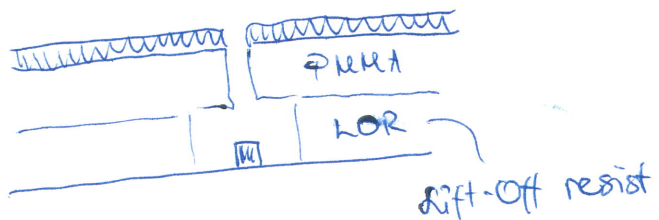
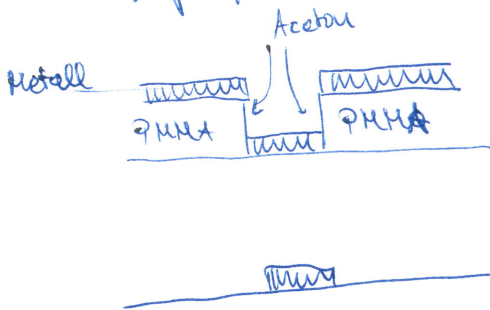
- PED-Effekt

- Oberflächenverunreinigungen

Multilagen - Resist - Prozesse

- zur Herstellung geeigneter Resistprofile für Lift-Off
- zur Einabeitung der Oberflächen topografie
- für hochauflösende Lithografie

LiftOff:



(oder: Schattenbedämpfung)

4.1.3 Fotolacke für Dickeicht - Lithografie

für Anwendungen in Mikrosystemtechnik bzw. MEMS
→ Schichtdicken 10...100 µm

versc. Fotolacke:

- Novolack-basierte ~~Resin~~, PR
 - SU-8 (Epoxyharz basiert)
 - QMMT
- } lichtoptisch
} Elektronenstrahl

(i) konventionelle PR

Bsp.: AZ 4000 Serie
AZ 9000 Serie

Spincoating bei niedrigen U-Zahlen

1000 rpm → 15-20 µm Schichtdicke

Aspektverhältnis 5-10 erreichbar

Anwendungsbereich: Formwerkzeuge für Galvanisierung
LIGA-Verfahren

(ii) SU-8 photoresist

Negativ-Fotolack

größte Empfindlichkeit 350-400nm (i-linien Lithografie)

geringe Absorption der I-Linie

Bsp.: 100 µm SU-8 46% Transmission
100 µm AZ-PR 1% —

↳ große Aspektverhältnisse möglich

Anwendung auch für Röntgenlithografie u. e⁻-lith.

auch als Werkstoff verwendet (wo Silizium nicht eingesetzt ist)

4.2 Beladungstechniken

1. Vorbereitung der Oberfläche, Haftverbesserung

2. Spin Coating

→ Filmdicke h bestimmt durch

$$h_f = \gamma_f \cdot \frac{a^{1/2} \nu_0^{1/4}}{\Omega^{1/2}}$$

γ_f : dimensionloser Parameter

a: $k/\Omega^{1/2}$ k: Massentransfer Koeff.

Ω : Rot. geodet.

ν_0 : Viskosität

• Rot. geodet.

• Viskosität

(Rot. dauer, wenn < 10 s)
nur Anfangsphase

3. Entfernen der Kanten

4. Soft bake (Pre-bake)

- Ausheizen zur Reduktion des Lösungsmittelgehalts

Abbau von Spannung, Verbesserung der Haftfähigkeit auf Substrat

- Ausheizdauer (≥ 60 s)

- Wahl der idealen soft bake Temperatur

$T > T_g$: Siedetemp. d. Lsg. mittel $\sim 140^\circ\text{C}$

$T < T_d$: Dekompositionstemp. (DQN $100^\circ\text{-}120^\circ\text{C}$)

$T > T_g$: Glastemperatur d. PR

eventuell optionale Prozessschritte:

- post exposure bake

- zus. Auhinterleuchten (BAC)

z.B. TiN auf Ti

Si_3N_4 auf Si

5. Entwicklung

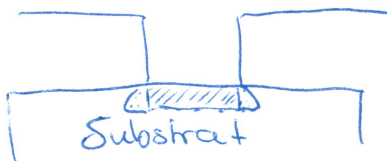
Entwicklungsresultat hängt ab von:

- Konzentration d. Entwicklers
- Temperatur d. Entwicklerbades
- Belichtungsgrad

5. Ätzverfahren

28. Jan. 2016

Hier unterscheidet: ▷ physikalische Verfahren (Sputtern)
▷ chemische Verfahren
↳ Nassätzen (S.1)
↳ Trockenätzen (S.2)



$$\text{Anisotropie } \alpha = 1 - \frac{ER_L}{ER_V}$$

ER: Ätzrate in nm/min

$ER_L = 0 \rightarrow \alpha = 1$ anisotropes Ätzen

$ER_L \neq 0, \rightarrow \alpha < 1$ isotropes Ätzen

$ER_V > ER_L$

chem. Verfahren meist isotrop

(Ausnahme: Nassätzen von einkristallinen Mat., z.B. Si)

5.1 Nassätzverfahren

seidige Ätzlösungen:

- verdünnte Flüssigsaure zur Entfernung von SiO₂



meist Pufferung mit ~~NH₄F~~



- Ätzlösungen zur Entfernung von Fotomasken, sog. 'Stripper'

organ. Stripper: Lösungsmittel des Fotolackes

anorgan. Stripper: H₂O₂, verdünnt mit H₂SO₄ oder H₃PO₄
bzw. oxidierende

► anisotropes Nassätzen von Si (Folie 3)

Si: kub. Kristallstruktur \Rightarrow <111> geringe ER

(höchste Atom-dichte)

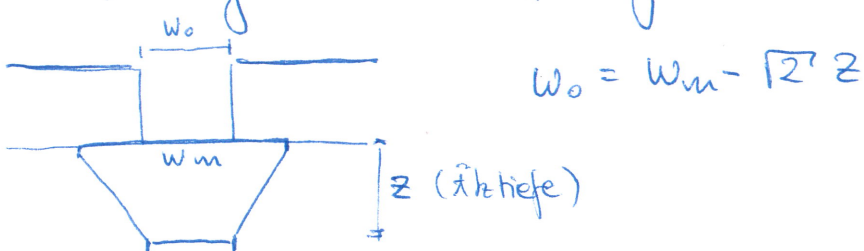
<110>

<100> höchste ER

(Ebene)

Si-Wafer in <100> Ebene geschnitten

\Rightarrow V-Ätzgruben mit Öffnungswinkel 54,74°



$$w_o = w_m - \sqrt{2}z$$

Si-Wafer in <110> Ebene geschnitten

\Rightarrow komplizierte Struktur 8 Schritte <111> mit <110>
L senkrecht, L mit $\neq 35,26^\circ$

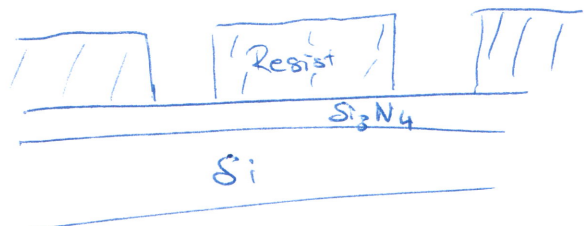
Anwendung: Ätzen von Strukturen oder Profilen

Ätzlösungen: KOH, EDP, TMTH

$$ER_{\text{KOH}}^{<100>} = 2.6 \cdot 10^6 \cdot W^{2.5} \cdot \exp\left(\frac{W/800 + 0.48}{k(T+273)}\right) \frac{\mu\text{m}}{\text{min}}$$

(empirische Formel für $C_{\text{KOH}} = 20\% - 25\%$) ($\text{typ: } 1-10 \frac{\mu\text{m}}{\text{min}}$)

Ätzmasken für KOH: Si_3N_4 (LPCVD), Selektivität 10^4



für EDP: SiO_2 , Selektivität 10^2

|
Ätzrate hängt vom Dotierungsgrad ab.

$$\text{Bsp: Si:B } ER_{10^{18}} \approx 160 \cdot ER_{10^{20}}$$

► isotropes Ätzen von Si (Folie 6)

Ätzlösung: HNA (Mischung aus HF, HNO_3 , CH_3COOH)

5.2 Trockenätzverfahren

= Plasmaätzverfahren

Reaktortypen:

- Plasmaätzer
- Ionenstrahlätzer

Ätzmechanismen:

- Sputter-Ätzen
- chem. Ätzen

Plasmaerzeugung:

- Kammer mit Gas bei geringem Druck 10^{-3} - 10 mbar
- typ. Plasmadichten 10^8 - 10^{12} Ionen/cm³
- typ. Frequenzen: 13,65 MHz, 600 kHz (zur Verhinderung von Raumladungsspannungen)
- typ. Spannungen: 200 - 500 V (Biasspannung, damit $I_{ion} = I_{e^-}$)

=> Ionisierung der Gasatome / Moleküle,
Bildung freier Radikale

Mögliche Dissoziationsprozesse:

- Ionen und Elektronen-Bildung



- Atom- und Radikalbildung



unverhindert: Wärme und Photoreibildung



mögliche Verlustmechanismen:

- Elektron./Ion - Rekombination



- Ion-Ion - Rekombination



- Ladungstransfer



- Attachment:



- Diffusion



Reaktor Bauweisen

- Zerrel-Reaktor (Folie 8)

↳ anode zur Reinigung durch Plasmabeschleunigung eingesetzt

- Plasma-Reaktor: Trioden-Typ (Folie 10/11)

↳ Plasmadichte und Ionenrichtung getrennt kontrollierbar

- Ionenstrahl-Reaktoren

5.2.3 Grundlegende Methoden

1. Reaktives Ionenätzen (RIE)

Kombination aus phys. (Ionenbombardement) und chem. Ätzen

RIE-Parameter:

- Gasfluss
- Leistung d. Plasmagquelle (kin. Energie d. Ionen)
- Kammerdruck (Vakuumventil zur Pumpe), typ. $< 10^{-3}$ mbar

Häufige reaktive Ätzgase: meist auf Halogenbasis

Pumpen und
~~Entlastung~~ Edelgas

2. Deep reactive ion etching (ICP-RIE)

Verbesserung der Direktionalität durch Erhöhung der Plasmadichte

↳ ICP-Quellen: Plasmadichte $> 5 \cdot 10^{11} / \text{cm}^2$
Ätzraten $> 20 \mu\text{m} / \text{min}$
Selektivität Si/PR = 100
Si/SiO₂ = 200

3. Ionenstrahlputzen (Kathodenzerstörung)

Rein physik. Prozess

weist Ar

→ Akprozess ist abhängig v. Ionenenergie:

$< 10 \text{ eV}$: Absorption des Ar⁺

10 eV - 5 keV: Ionenstrahlputzen

$> 10 \text{ keV}$: Ionenimplantation

2 Arten:

(i) Plasmasputzen (geringe Ätzrate)

(ii) Ionenstrahlputzen / -fräsen

4. Reaktiv-Gas-Fähen

chem. Fähen ohne Plasmabildung mit XeF_2



XeF_2 : Dampfdruck $\sim 5\text{ hPa}$ bei 25°Pa (schlängelt)

- Vorteile:
- hohe Selektivität
 - hohe Ätzraten $\sim 1-3\text{ }\mu\text{m/min}$
 - komplett isotropes Ätzen

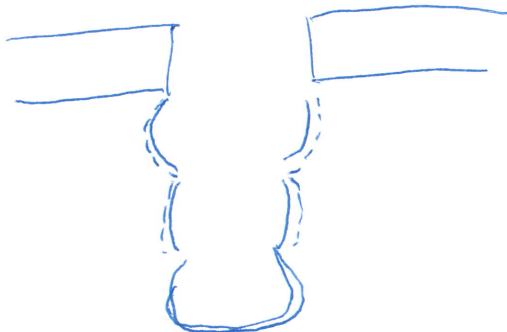
Nachteil: - Rauigkeit der Oberfläche

5.2.4 Anwendungsbeispiele

(i) Ätzen von Si

↳ Basde-Prozess

1. Schritt: Ätzen mit SiF_4 Plasma isotropes Ätzen von Si
2. Schritt: Ätzen mit C_4F_8 , Passivierung des Oberflächen---
3. Schritt: Isotropes Ätzen mit SiF_4



(ii) Ätzen von Dielektrika (SiO_2 , Si_3N_4)

(iii) Ätzen von Metallen

Aluminium: Meist Cl-Chemien (kein F)

Edelmetalle: Bei hohen Temp (200°C) mit O

(iv) Ätzen von Verbindungshalbleitern

(v) Fotoresistveraschung / Polymerveraschung

(vi) metallische Multilagen

(vii) Ätzen komplexer Oxid-Verbindungen

Kap. 6 Abscheidetechniken

Anwendungsbereich: opt. Beschichtungen
 tribologische Schichten
 Hochtemp. Supraleiter
 Micro/Nanotechnologie

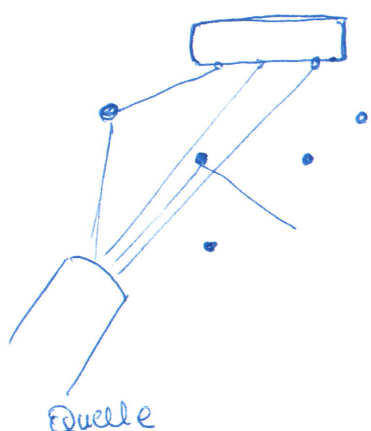
breites Methodenspektrum, abh. von Materialien

Aufdampfen: Abscheiden aus der Gasphase



6.1 Grundlagen des Aufdampfens

(i) Kinetik d. Gasatome



mittlere freie Weglänge

$$\lambda = \frac{1}{\sqrt{2} \pi \left(\frac{N}{V} \right) d^2}$$

$$\text{ideales Gas: } \frac{N}{V} = \frac{P}{k_B T}$$

$$\Rightarrow \lambda = \frac{k_B T}{\sqrt{2} \pi P d^2}$$

Luft $P = 0.5 \cdot 10^{-3}$ mbar
 $T = 300$ K
 $d = 0.36$ nm
 $\Rightarrow 15$ cm

Zahl der Restgasatome, die aufs Substrat treffen

$$n_i = p_i \sqrt{\frac{1}{2\pi k_B n_i T}}$$

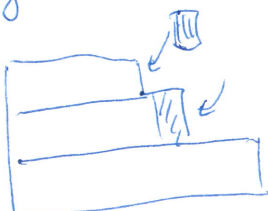
i = incorporated

(ii) Filmwachstum

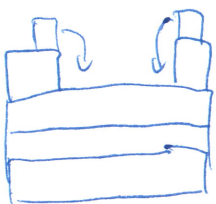
- Homoepitaxie: Filmwachstum auf einheitlichem Substrat aus gleichem Material.

Schwöbel-Bereiche
/ zu hoch

mögliche Formen:



Stufenwachstum



2D-Inselwachstum



Multilagenwachstum

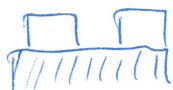
- Heteroepitaxie: Filmwachstum abh. von Oberflächenenergie γ
— Gitterfeldanpassung

bei geringer Feldanpassung ...

... und $\gamma_{\text{Sleicht}} + \gamma_{\text{Substrat+Sleicht}} \leq \gamma_{\text{Substrat}}$

→ perfekte Bezeichnung → Frank-van der Merwe-Wachstum

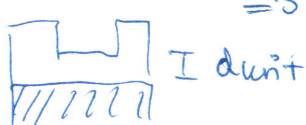
... und $\gamma_{\text{Sleicht}} + \gamma_{\text{Substrat+Sleicht}} > \gamma_{\text{Substrat}}$



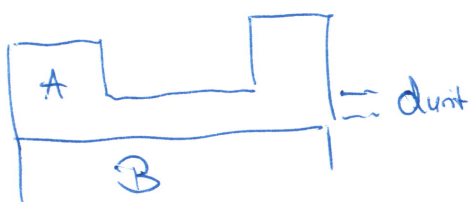
→ Inselwachstum ⇒ Volmer-Weber-Wachstum

bei großer Feldanpassung

⇒ Inselwachstum ⇒ Strauski-Krastanov-Wachstum

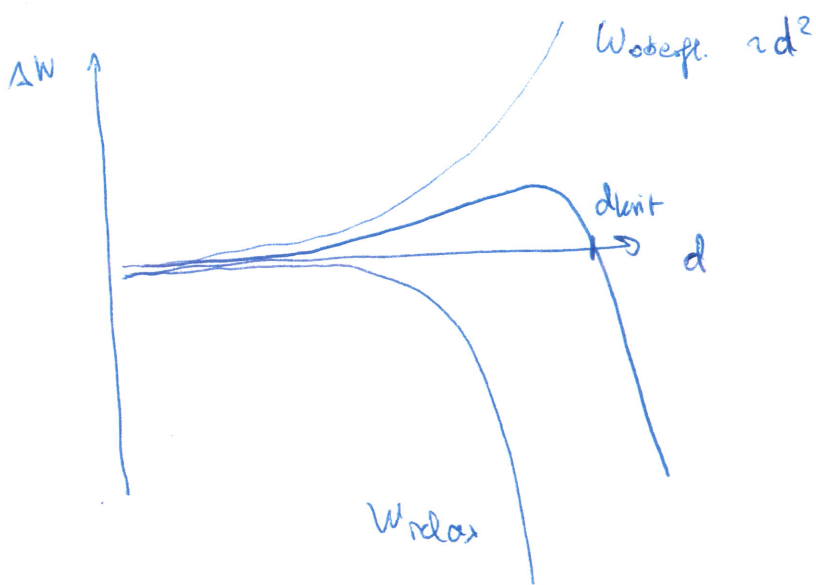


Strauski-Krastanov-Wachstum



— dunt

$$\text{Energiedif. } \Delta W = W_{\text{abgf.}} + W_{\text{relax}} = \text{const}_1 \cdot g \cdot d^2 - \text{const}_2 \cdot k \cdot \{^2 \cdot d^3$$



(iii) Thermodynamik / Phasendiagramm

bei Mischnmaterial: Filmwachstum hängt von Mischbarkeit /

Phasendiagramm ab

Dampfdruck + Temperatur bestimmen die Aufdampfraten

6.2 Physik. Abscheidetechniken

6.2.1 Thenn. Aufdampfen / Molekularstrahl - Epitaxie (MBE)

Aufdampfanlage:

- Quellen:
 - einfache therm. Verdampfer
 - Elektronenstrahlverdampfer
 - Knudsen Zelle*
- Aufdampfrate: $N_e = \frac{p_e t_e}{12\pi m k_B T}$

Herk -
Knudsen -
Langmuir -
Gleichung

- Strahlunterbrecher (Shutter)

- Prozessumgebung: Edelstahl- / Glasrezipienten

große MBE-Ablagen:

Haupthammer
Transferhammer
Schleuse

- UHV - geeignete Materialien
- Pumpensysteme : Ölfreie Scrollpumpen
Turbopumpen
Kryopumpen
Ionengitterpumpen
- Druckmessröhren : Pirani } Kaltkathoden
Penning }
Bayard - Alpert } Heißkathoden
- In-situ Analysetechniken
zur Kontrolle des Wachstums und zur Oberflächenanalyse.
z.B. RHEED